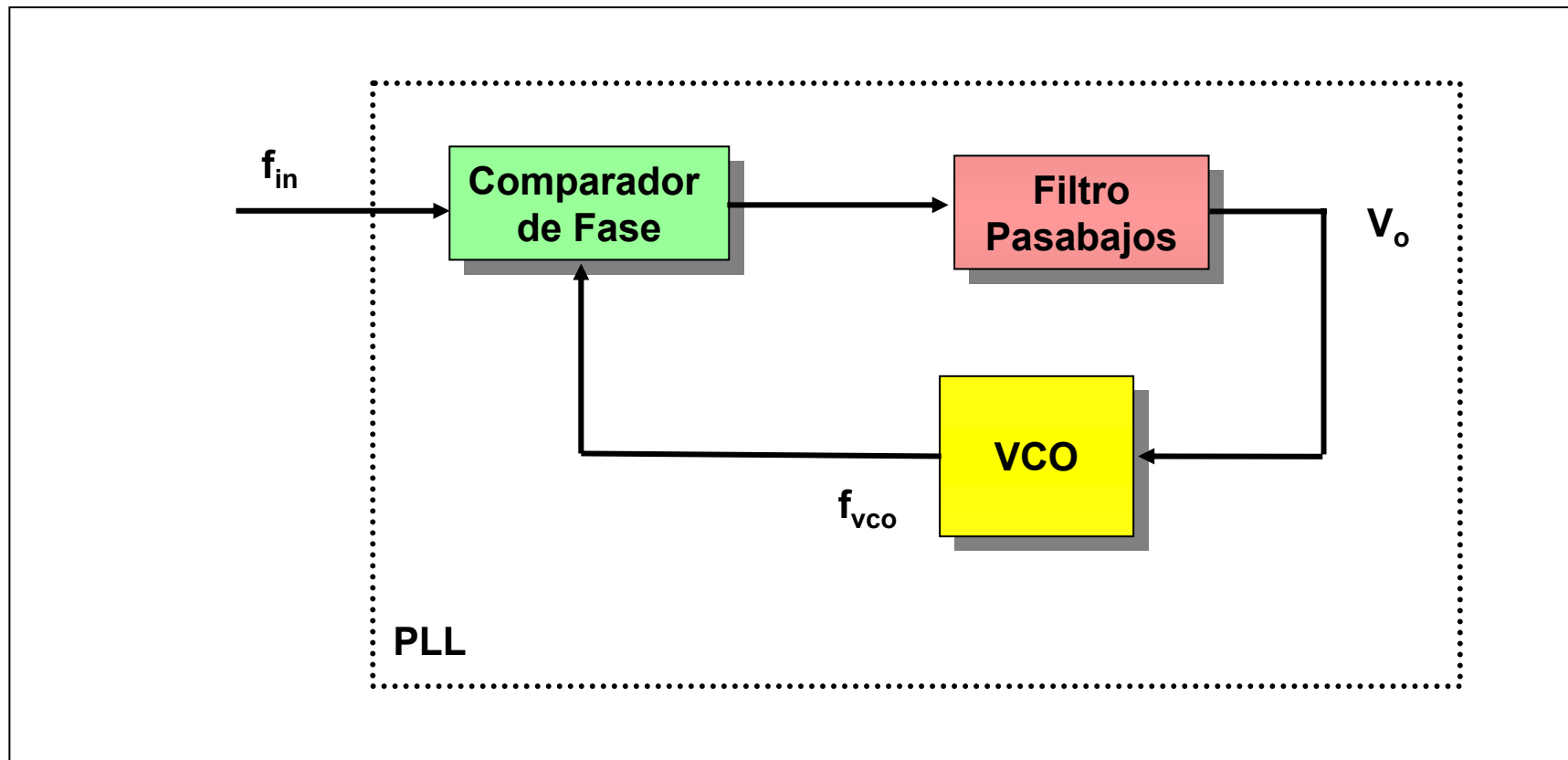


PLL (Phase Locked Loop)

- Diagrama en bloques
- Detector de fase
- VCO
- Transferencia
- Filtros
- Aplicaciones

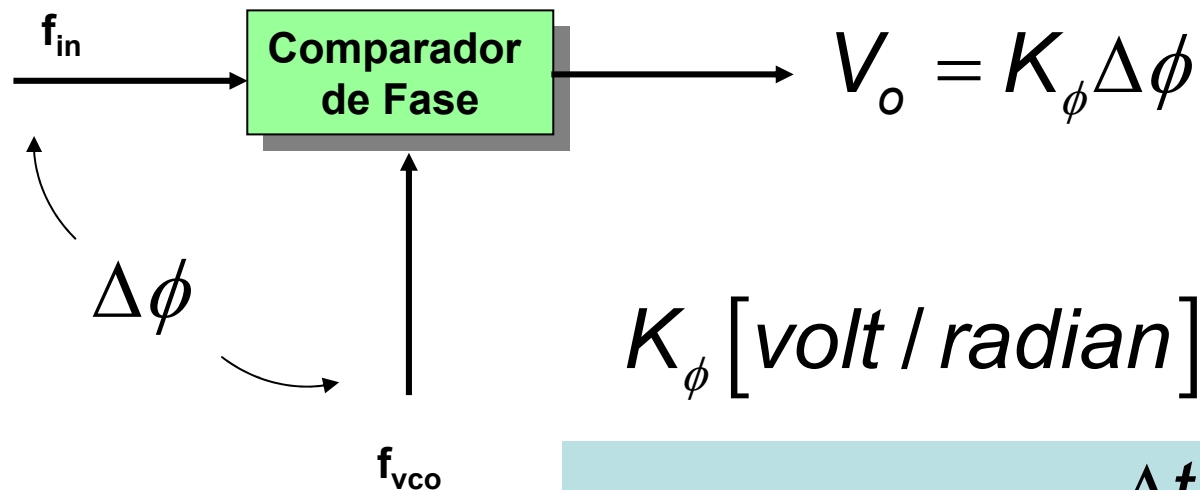
Diagrama en bloques

La función de un PLL es la de “enganchar” la frecuencia del VCO a la frecuencia de la señal de entrada



Comparador/Detector de fase

La función del comparador de fase es la de entregar una tensión proporcional a la diferencia de fase entre la señal del VCO y la señal de entrada

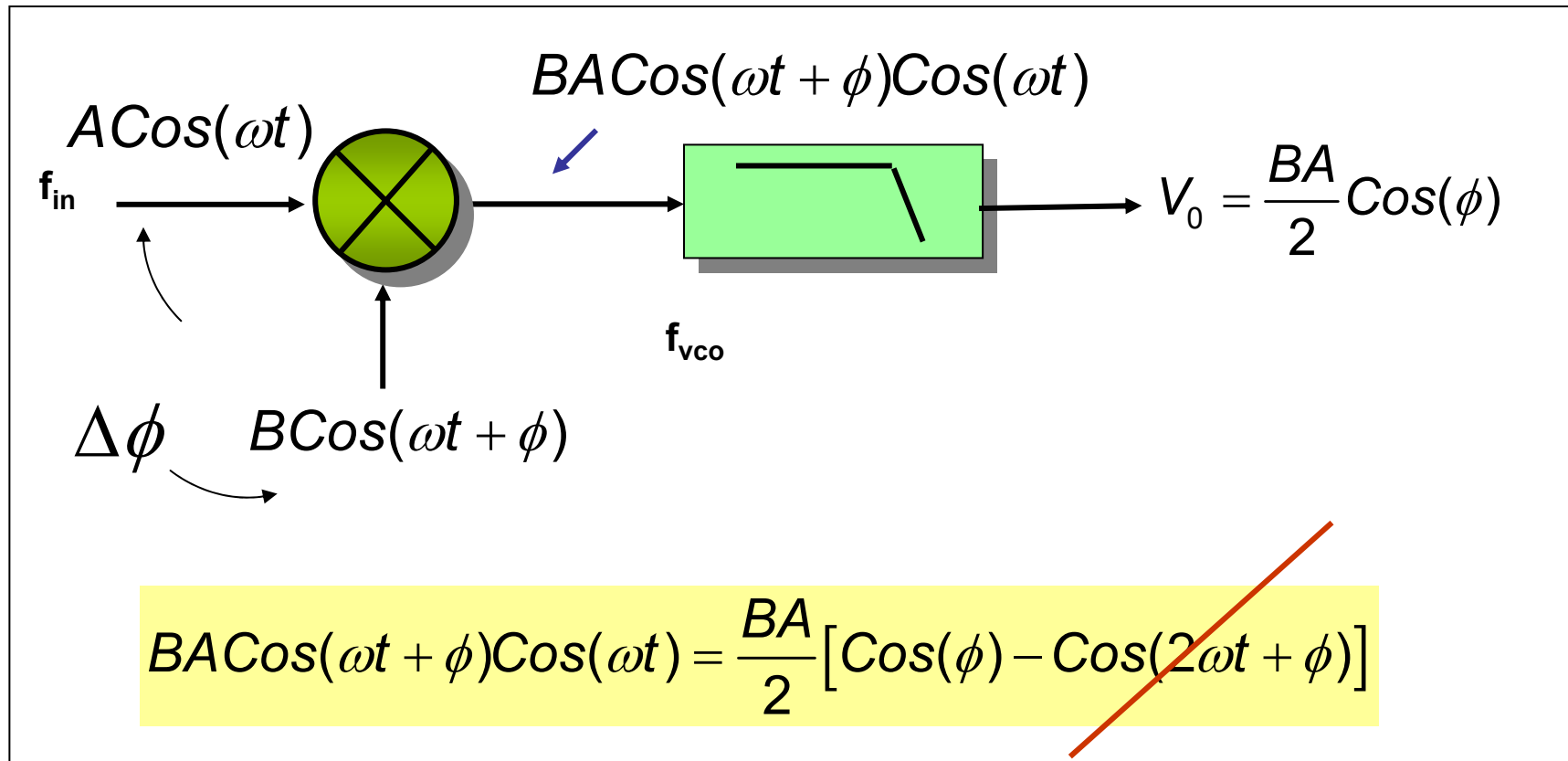


$$K_\phi [volt / radian]$$

$$\Delta\phi = \phi_{in} - \phi_{vco} = \frac{\Delta t}{T} 2\pi$$

Comparador/Detector de fase

Implementación 1: Multiplicador



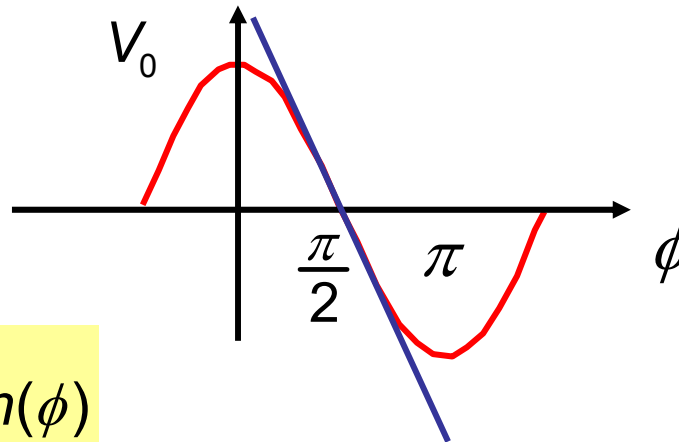
Comparador/Detector de fase

Implementación 1: Multiplicador

$$V_o = \frac{BA}{2} \cos(\phi)$$

$$K_\phi = \frac{dV_o}{d\phi} = -\frac{BA}{2} \sin(\phi)$$

$$K_{\phi=\frac{\pi}{2}} = \left. \frac{dV_o}{d\phi} \right|_{\frac{\pi}{2}} = -\frac{BA}{2}$$

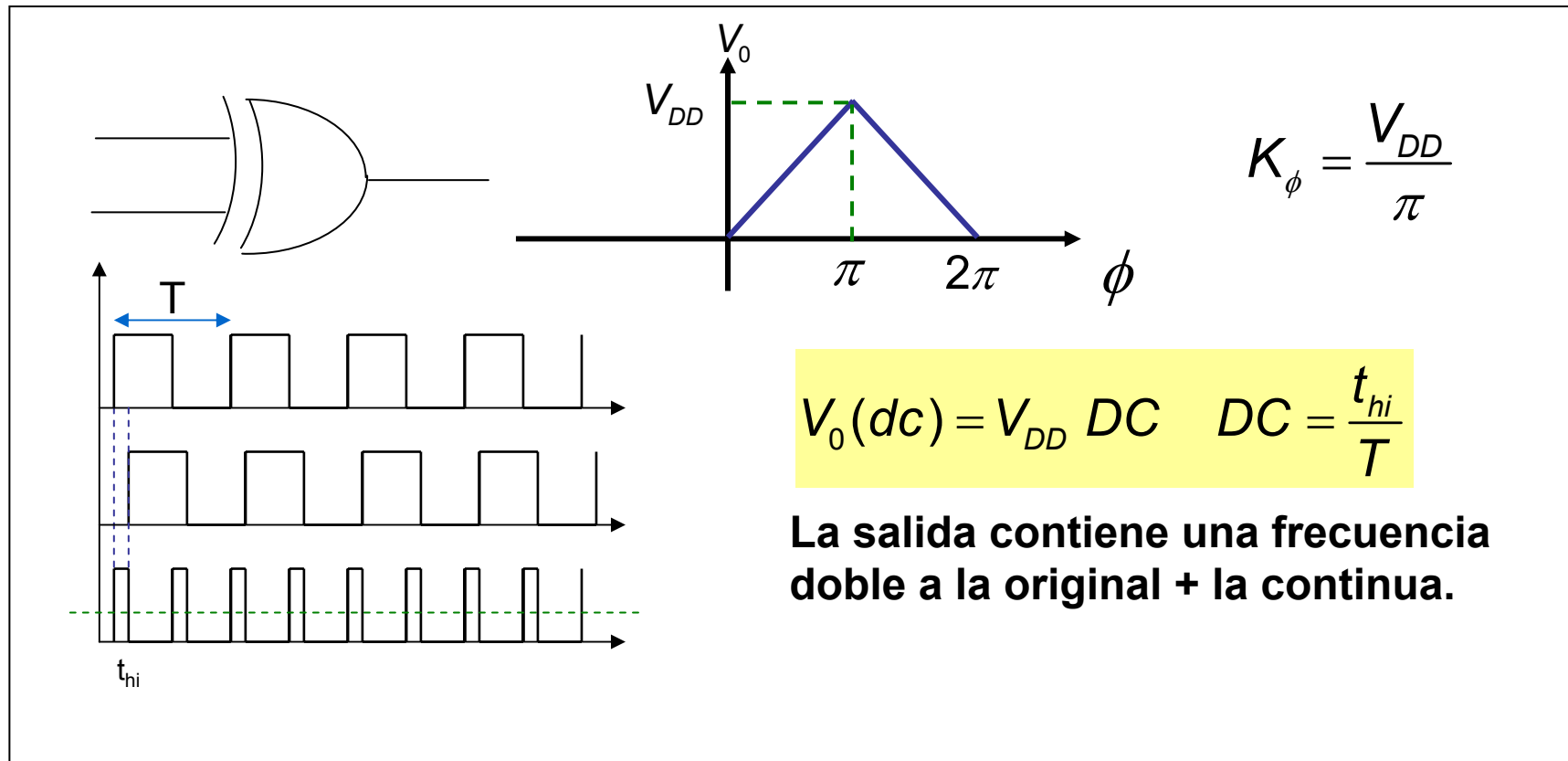


Lazo enganchado en cuadratura

La ganancia del detector es máxima en $\pi/2$

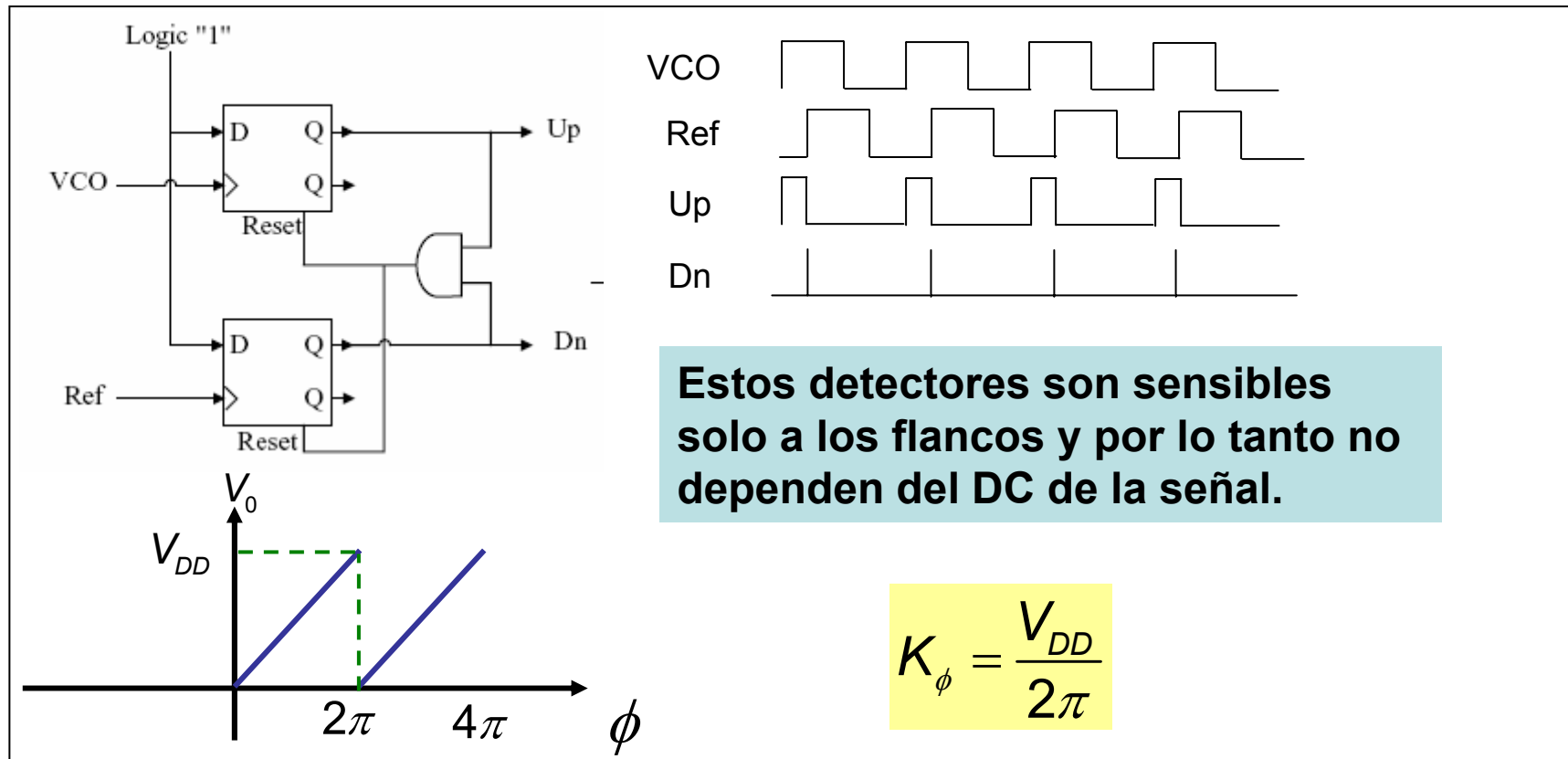
Comparador/Detector de fase

Implementación 2: XOR



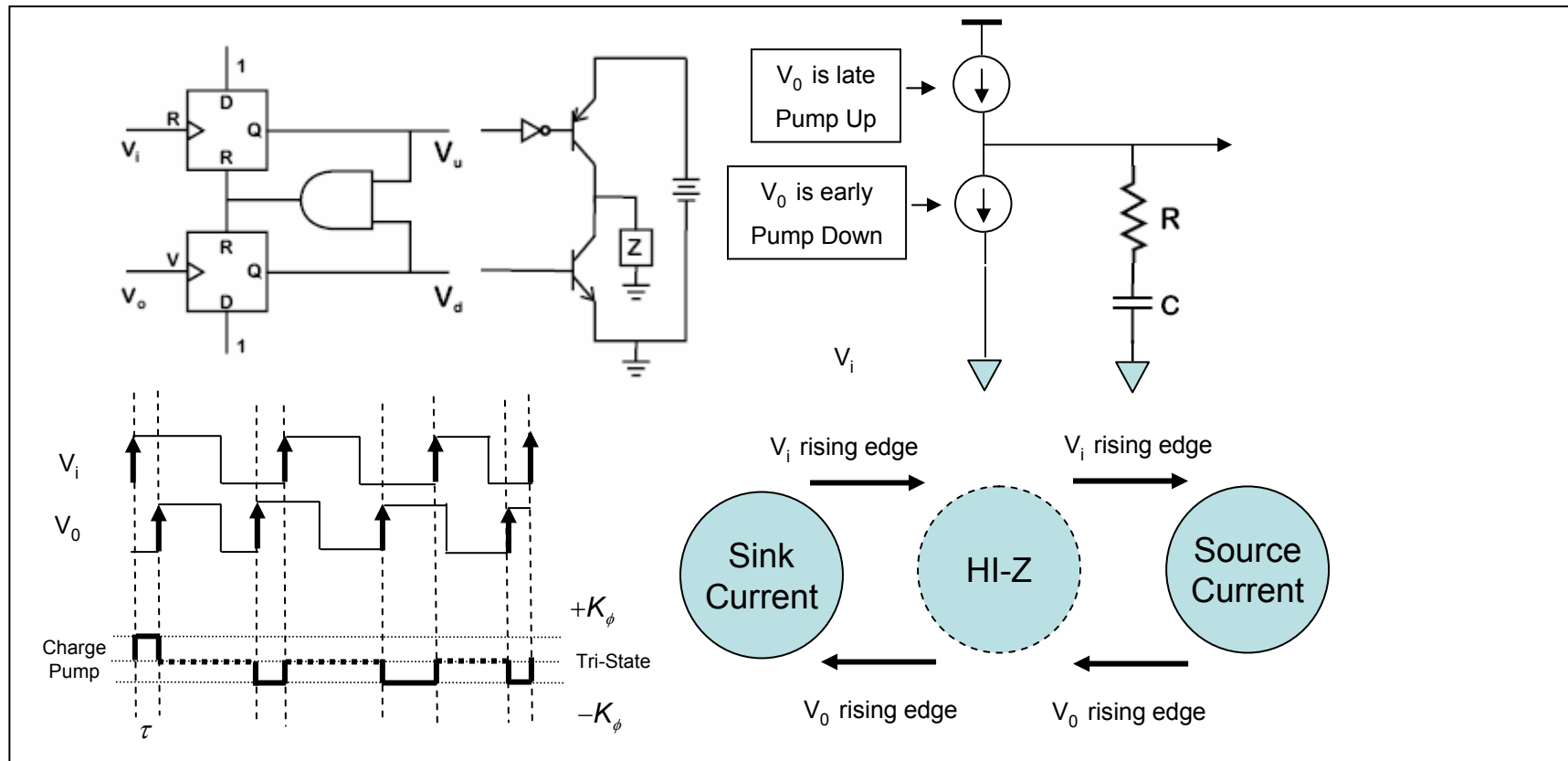
Comparador/Detector de fase

Implementación 3: Edge Detector (Phase Frequency Detector)



Comparador/Detector de fase

Implementación 4: Edge Detector + Charge Pump



Comparador/Detector de fase

Análisis del PFD + Charge Pump

Suponiendo que V_i y V_0 son de igual frecuencia y que el flanco de V_0 aparece un tiempo τ después del flanco de V_i tenemos dos posibilidades:

$\tau = 0$ En este caso ambas señales están sincronizadas en frecuencia y en fase y por lo tanto no existe salida en el detector.

$\tau > 0$ La salida estará cargando al capacitor durante un tiempo τ por cada periodo de la señal V_i . Si el periodo de la señal V_i es T_i entonces el valor medio de la salida del Charge and Pump será:

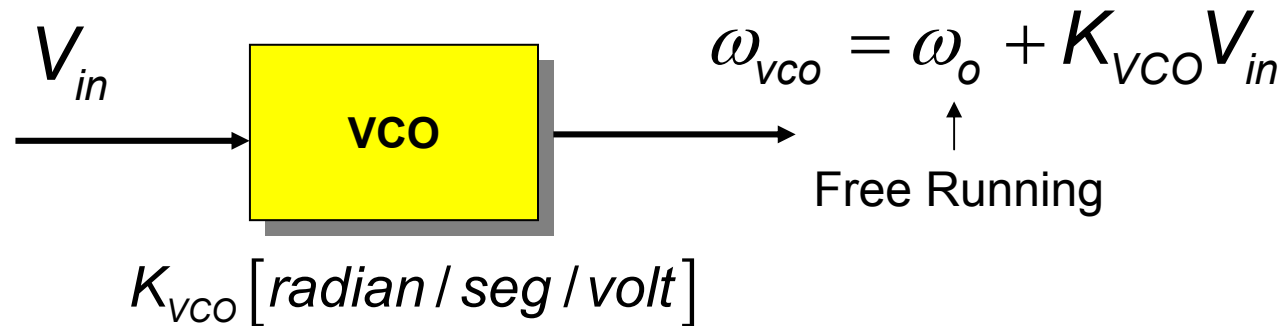
$$\overline{V_{out}} = 2\pi \frac{\tau}{T_i} K_\phi$$

La constante 2π se introduce para convertir retardo temporal en un retardo de fase. Notese que el retardo de fase deberá ser a lo sumo T_i . Cuando la fase es $+2\pi$ la corriente suministrada será K_ϕ mientras que cuando es -2π la corriente absorbida será $-K_\phi$ y por lo tanto la ganancia del detector será :

$$K_d = \frac{K_\phi}{2\pi} \text{ mA/rad}$$

VCO

La función del VCO es generar una frecuencia proporcional a la tensión de entrada.

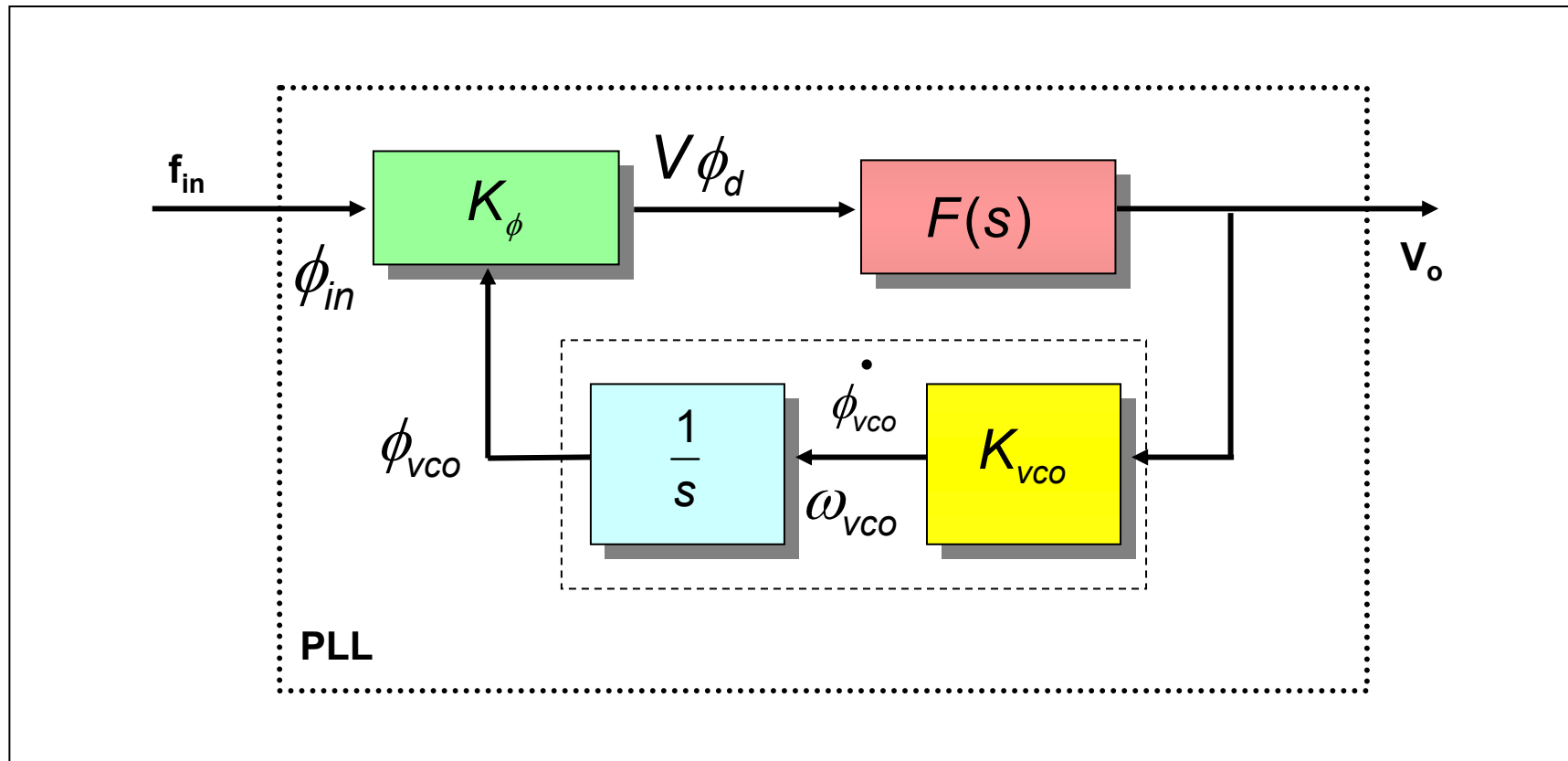


$$\omega_{vco} = \frac{d\phi_{vco}}{dt} \Rightarrow \phi_{vco} = \int \omega_{vco} dt \Rightarrow \phi_{vco}(s) = \frac{1}{s} \omega_{vco}(s)$$

El VCO es un integrador

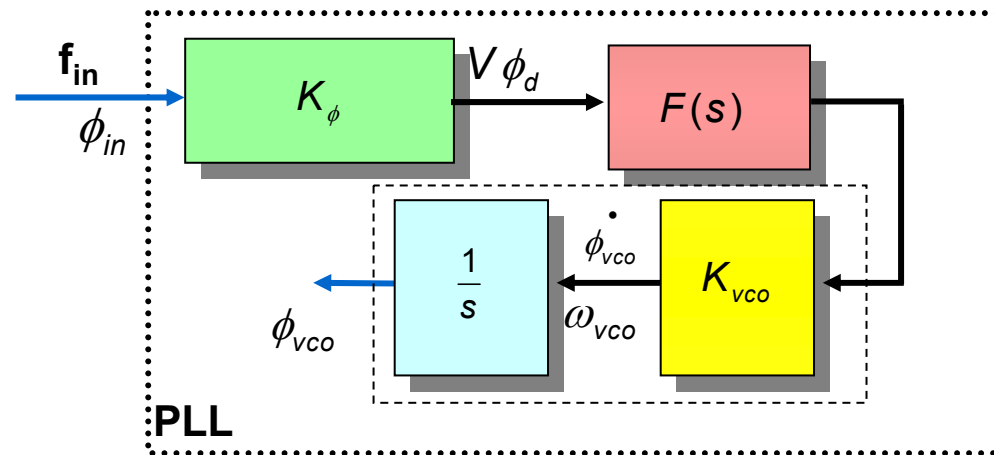
PLL: Transferencia

Transferencia



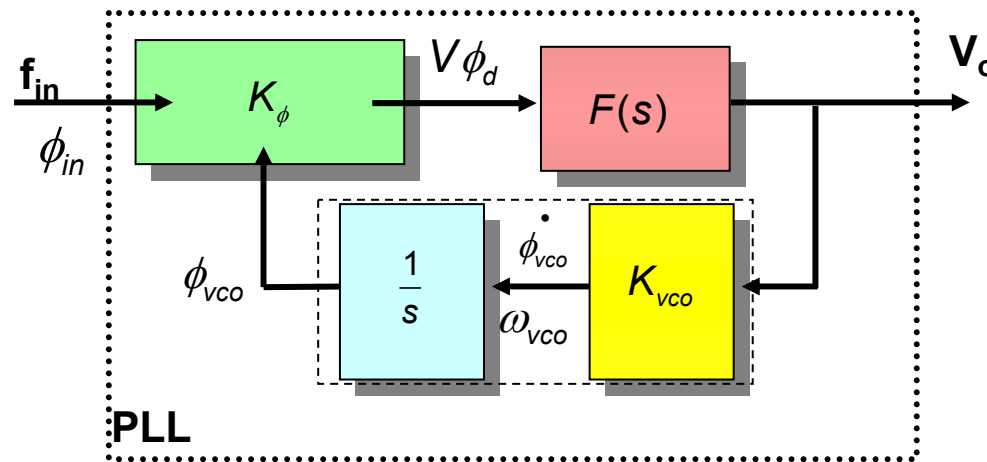
PLL: Transferencia

$$H(s) = \frac{\phi_{vco}}{\phi_i} = \frac{G(s)}{1 + G(s)} \quad G(s) = \frac{K_\phi F(s) K_{vco}}{s}$$



PLL: Transferencia

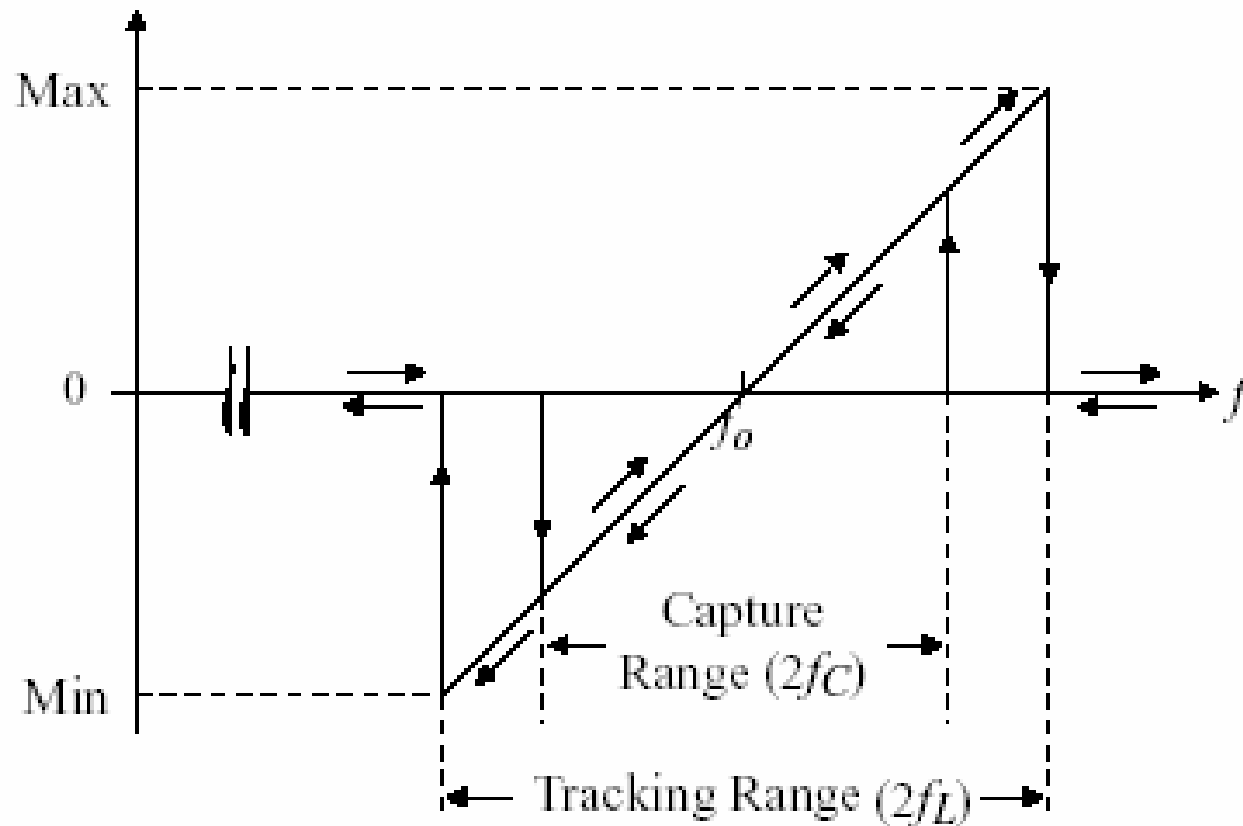
$$\frac{V_o}{\phi_i} = \frac{sK_\phi F(s)}{s + K_\phi K_{vco} F(s)} \quad \text{o bien} \quad \frac{V_o}{\omega_i} = \frac{V_o}{\phi_i s} = \frac{K_\phi F(s)}{s + K_\phi K_{vco} F(s)}$$



$$G(s) = \frac{K_v F(s)}{s}$$

PLL

Rangos de captura y enganche



PLL

Transferencias

$$\phi_{vco}(s) = \frac{G(s)}{1 + G(s)} \phi_i(s) \quad G(s) = \frac{K_v \boxed{F(s)}}{s} \leftarrow \begin{matrix} \text{Low} \\ \text{Pass} \end{matrix}$$

Como $\lim_{t \rightarrow \infty} h(t) = \lim_{s \rightarrow 0} sH(s)$ Teorema del valor final

$$\lim_{s \rightarrow 0} (s \phi_{vco}(s)) = \lim_{s \rightarrow 0} s \left[\frac{G(s)}{1 + G(s)} \phi_i(s) \right] = \phi_i(s)$$

$$\phi_{vco}(t) \approx \phi_i(t) \Big|_{t \rightarrow \infty}$$

Tracking !!!

PLL

Transferencias

En Ausencia del filtro $F(s)$:

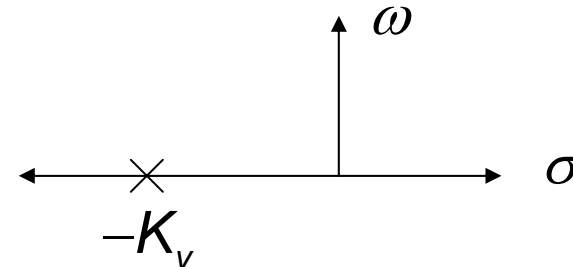
$$\frac{V_o}{\omega_i} = \frac{K_\phi}{s + K_\phi K_{vco}} = \frac{1}{K_{vco}} \frac{K_v}{s + K_v} \quad \text{donde} \quad K_v = K_\phi K_{vco}$$

$$\left| \frac{V_o(j\omega)}{\omega_i} \right|_{dB}$$

$$1/K_{vco}$$

$$K_v$$

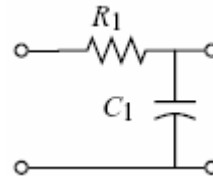
- El proceso de captura es mas lento
- El rango de captura decrece
- Mejora el rechazo a las perturbaciones
- Respuesta sobre amortiguada



PLL: Filtros

Filtros de primer orden

$$F(s) = \frac{\omega_1}{s + \omega_1} = \frac{1}{1 + \frac{s}{\omega_1}}$$



$$\therefore \frac{V_o(s)}{\omega_i} = \frac{K_D F(s)}{s + K_v F(s)} = \frac{K_D}{s \left(1 + \frac{s}{\omega_1}\right) + K_v} = \frac{1}{K_o} \left(\frac{\omega_1 K_v}{s^2 + \omega_1 s + \omega_1 K_v} \right)$$

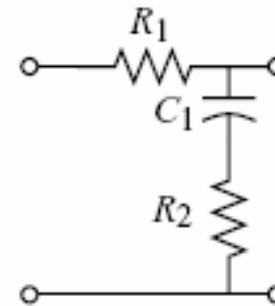
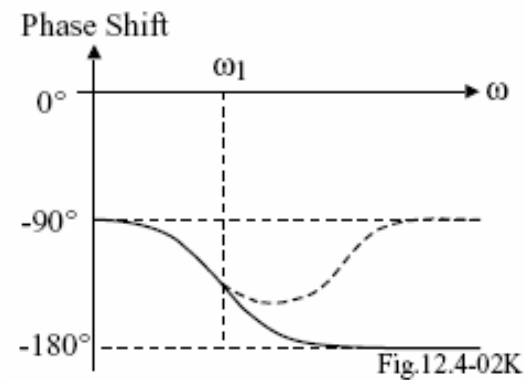
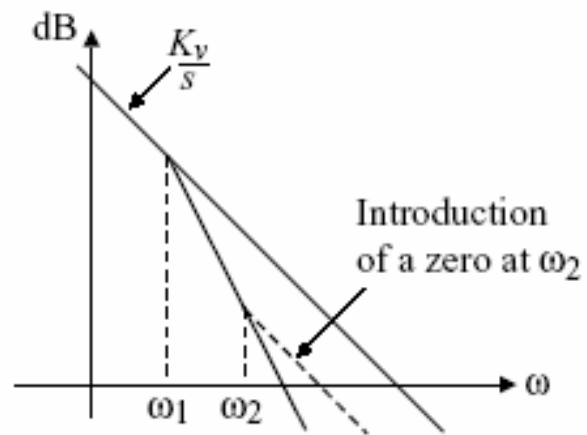
$$\frac{V_o(j\omega)}{\omega_i} = \frac{1}{K_o} \left(\frac{\omega_n^2}{s^2 + \zeta \omega_n s + \omega_n^2} \right) \quad \omega_n = \sqrt{K_v \omega_1} \quad \zeta = \frac{1}{2} \sqrt{\frac{\omega_1}{K_v}}$$

$$\zeta = 0.707 \quad \omega_1 = 2K_v \quad \omega_{-3dB} = \omega_n = \sqrt{2}K_v$$

$$p_1, p_2 = -\frac{\omega_1}{2} \pm \frac{1}{2} \sqrt{\omega_1^2 - 4\omega_1 K_v} = -\frac{\omega_1}{2} \left(1 \pm \sqrt{1 - \frac{4K_v}{\omega_1}} \right)$$

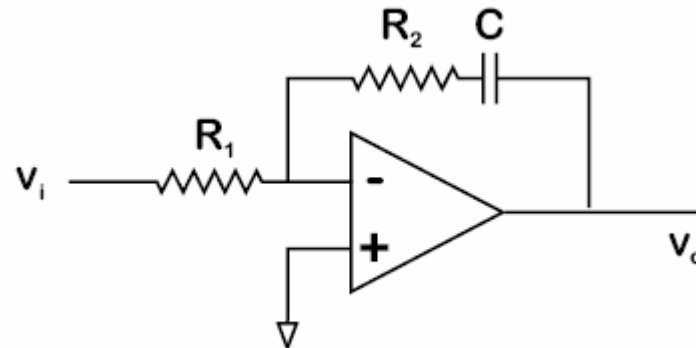
PLL: Filtros

Filtros de primer orden



PLL: Filtros

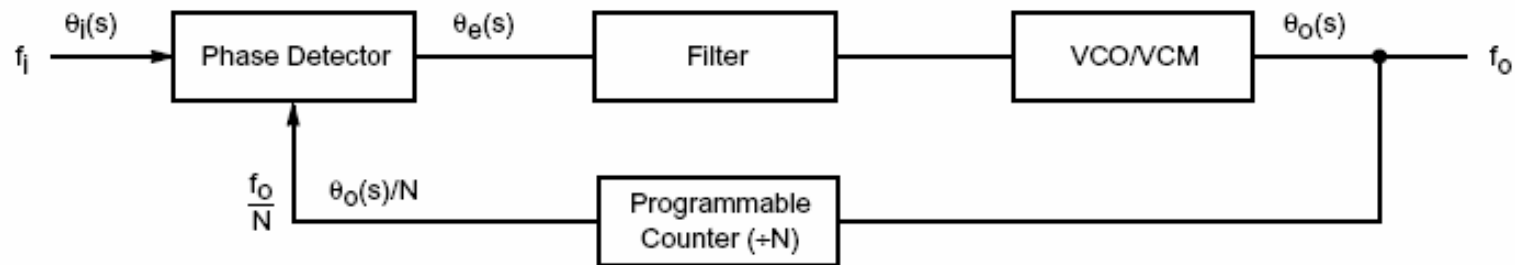
Filtros de primer orden Activo



$$\frac{V_o}{V_i} = -\frac{sR_2C + 1}{sR_1C}$$

PLL: Aplicación

Síntesis de frecuencias



PLL: Aplicación

PLL CD4046BC

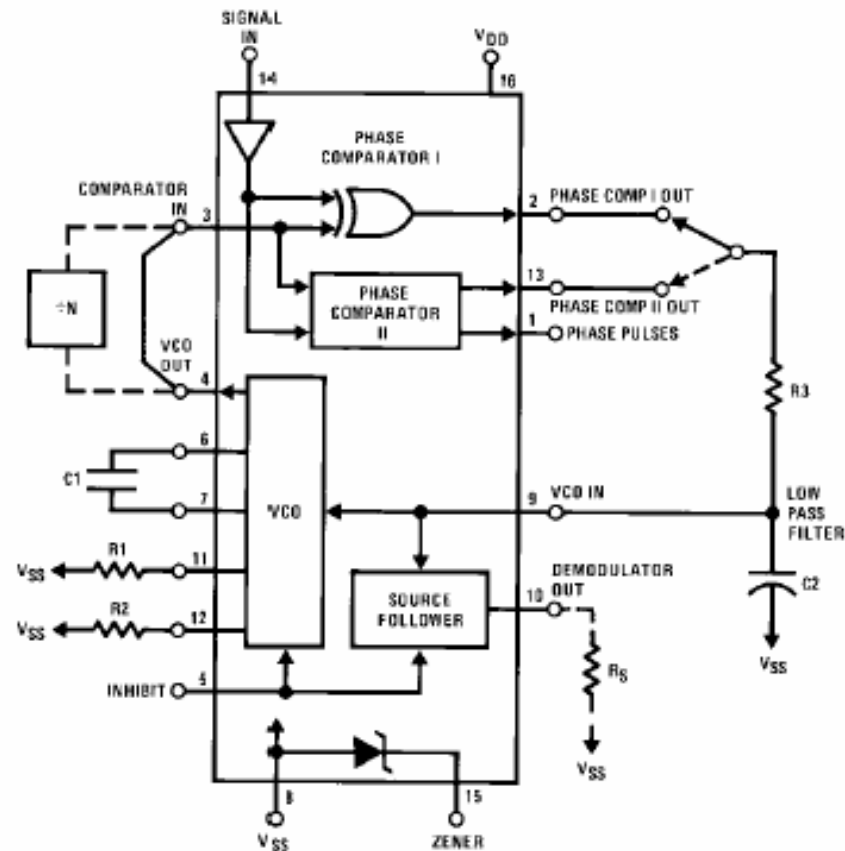
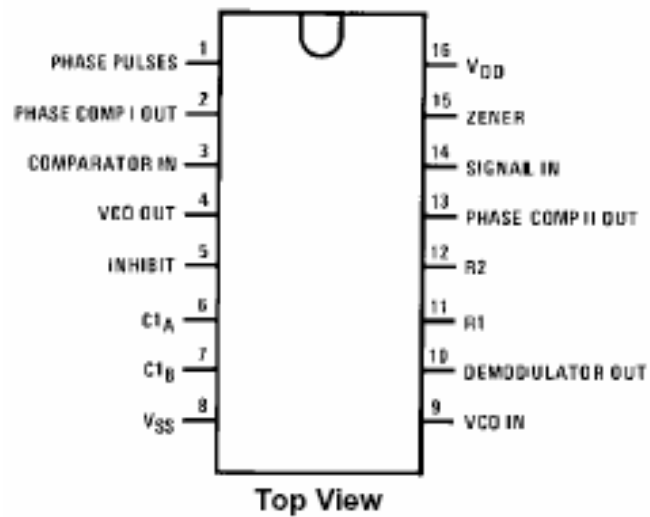


FIGURE 1.

PLL: Aplicación

PLL CD4046BC

Phase Comparator State Diagrams

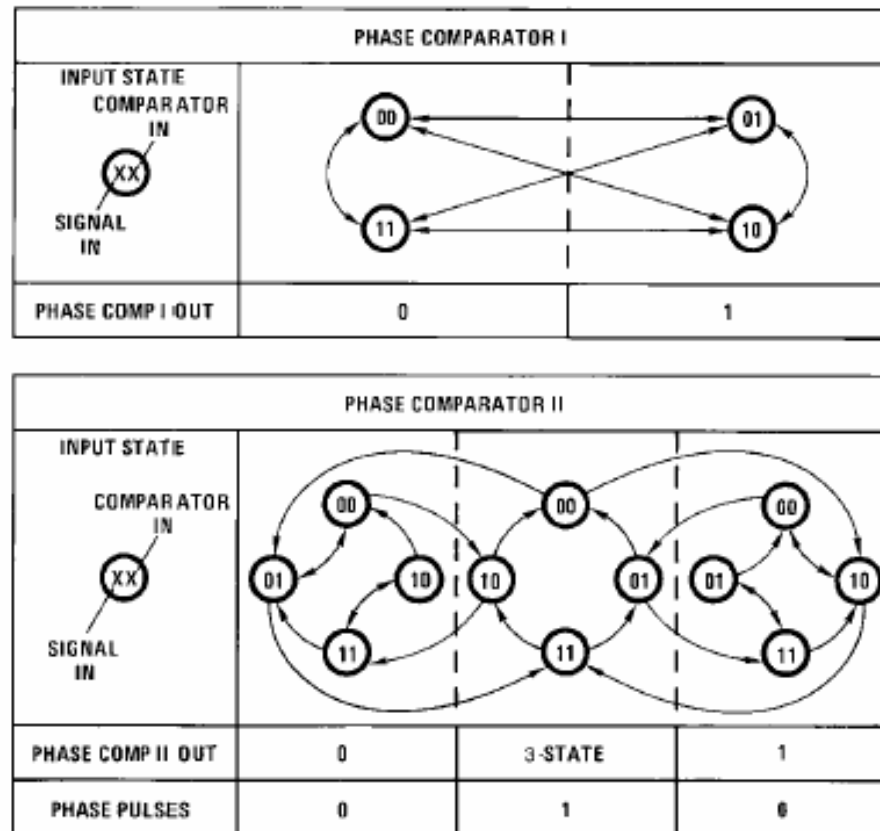


FIGURE 2.

PLL: Aplicación

PLL CD4046BC

Typical Waveforms

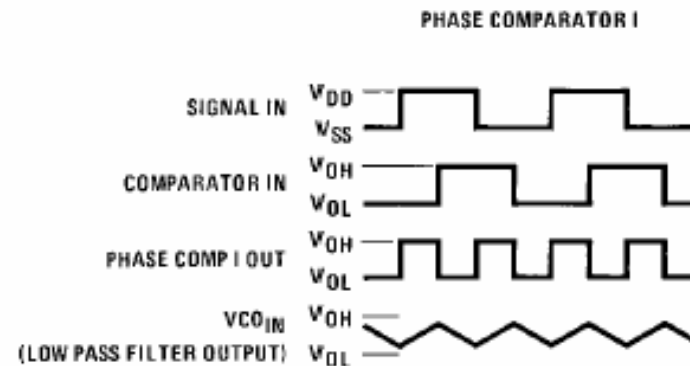


FIGURE 3. Typical Waveform Employing Phase Comparator I in Locked Condition

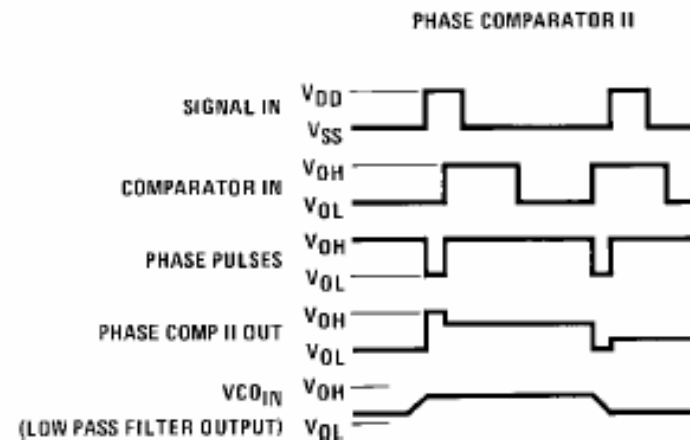


FIGURE 4. Typical Waveform Employing Phase Comparator II in Locked Condition

PLL: Aplicación

PLL CD4046BC

Typical Waveforms

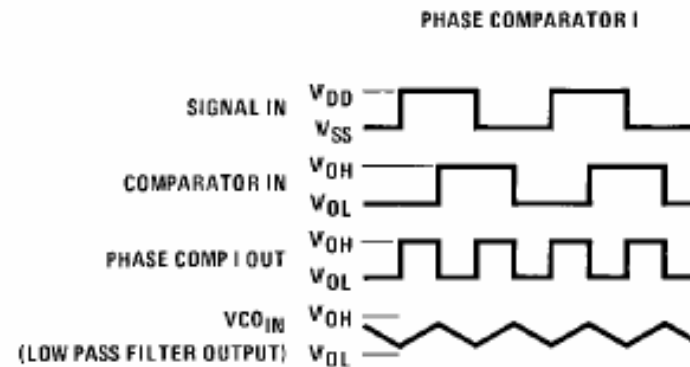


FIGURE 3. Typical Waveform Employing Phase Comparator I in Locked Condition

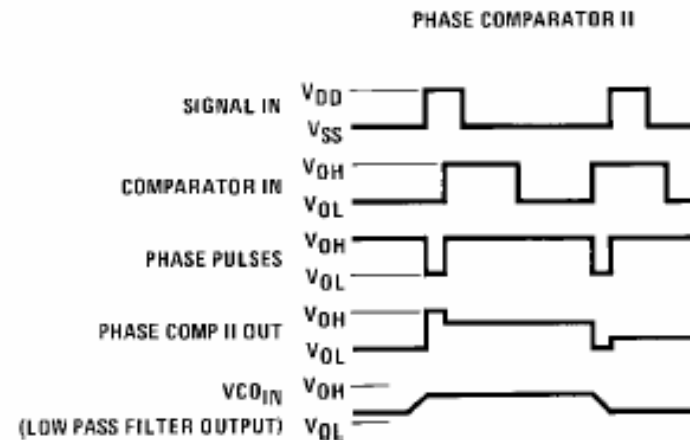


FIGURE 4. Typical Waveform Employing Phase Comparator II in Locked Condition